Rotor 65

- Français
- English

Downloadable models
×

Open access

Git project

About

This report presents the overall and blade-element performances of the scaled fan stage. The stage was designated “stage 65” for tests in the Lewis facility. Data were obtained at speeds of 40 to 100 percent of design speed. Blade-element survey data were taken at 11 radial positions for the inlet guide vanes and the rotor, at 7 radial positions for the bypass stator, and at 3 radial positions for the core stator. The data presented in this report are in tabular as well as plotted form.

- Original NASA technical report [(cite:moore1976aerodynamic>Moore R. D. *et al* «Aerodynamic performance of 0.4066-scale model to JT8D refan stage » 1974. pdf)]:

```
@TechReport{moore1976aerodynamic,
  author           = {Moore, Royce D and Kovich, George and Tysl, Edward
R},
  date             = {1976},
  institution      = {NASA Lewis Research Center Cleveland, OH, United
States},
  title            = {Aerodynamic performance of 0.4066-scale model to
JT8D refan stage},
  number           = {NASA-TM X-3356},
  url              = {https://ntrs.nasa.gov/citations/19760017065},
```

- Picture :



Fig1. https://ntrs.nasa.gov/citations/19760017065 p.114

Useful documents

- downloadable models (Git project)
- NASA technical report (.pdf)
- geometrical parameters file (.csv), usable as input of OpenMCAD[(cite:Kojtych_2022_gene_aubes>Kojtych S., Batailly A. «OpenMCAD, an open blade generator: from Multiple-Circular-Arc profiles to Computer-Aided Design model» 2022. open source code)] to generate reference blade models.

Reference blade

The **reference blade** is defined with multiple-circular arc profiles[(cite:Crouse_1969_computer)] given in the original NASA report[(cite:moore1976aerodynamic)]. Corresponding models are computed with the open-source code OpenMCAD[(cite:Kojtych_2022_gene_aubes)].

Geometry

The geometry of rotor 65 is described in the original NASA report by the following table. The lenghts are in inches and the angles in degrees.

TABLE VII. - BLADE GEOMETRY FOR ROTOR 65

RP	PERCENT SPAN	RADII RI	RADII RO	BLADE ANGLES KIC	BLADE ANGLES KTC	BLADE ANGLES KOC	DELTA INC	CORE ANGLE
TIP	0.	25.405	25.629	64.63	70.95	59.92	1.59	-9.437
1	5.	24.797	24.334	62.32	68.07	58.86	1.91	-10.857
2	10.	24.142	23.640	60.43	65.15	57.62	2.22	-11.036
3	20.	22.707	22.250	58.14	59.28	54.62	2.84	-8.889
4	30.	21.218	20.861	55.91	53.25	51.16	3.58	-6.749
5	35.	20.461	20.166	54.80	50.52	49.45	3.98	-5.442
6	40.	19.704	19.472	53.80	49.08	47.57	4.28	-4.256
7	50.	18.192	18.082	52.02	48.27	43.07	4.73	-2.014
8	60.	16.693	16.693	50.38	47.95	37.24	5.18	-0.057
9	64.	16.092	16.137	49.67	46.39	34.05	5.47	0.804
10	80.	13.595	13.914	47.01	37.52	17.24	6.77	4.968
11	95.	10.894	11.830	44.86	31.17	-4.37	7.54	13.481
HUB	100.	9.898	11.135	43.73	31.25	-14.38	7.68	17.467

RP	BLADE THICKNESSES TI	BLADE THICKNESSES TM	BLADE THICKNESSES TO	AXIAL DIMENSIONS ZIC	AXIAL DIMENSIONS ZMC	AXIAL DIMENSIONS ZTC	AXIAL DIMENSIONS ZOC
TIP	0.031	0.118	0.022	0.643	1.870	2.064	2.905
1	0.031	0.134	0.022	0.595	1.909	2.115	3.004
2	0.031	0.148	0.022	0.545	1.943	2.152	3.121
3	0.031	0.174	0.022	0.444	1.975	2.169	3.366
4	0.031	0.203	0.022	0.334	1.908	2.064	3.351
5	0.031	0.217	0.022	0.301	1.908	2.037	3.398
6	0.031	0.226	0.023	0.257	1.907	2.000	3.422
7	0.031	0.236	0.024	0.321	1.900	1.897	3.447
8	0.031	0.249	0.026	0.319	1.873	1.745	3.484
9	0.031	0.260	0.027	0.292	1.865	1.690	3.531
10	0.033	0.316	0.031	0.132	1.839	1.353	3.798
11	0.045	0.365	0.040	0.013	1.820	1.013	3.919
HUB	0.051	0.375	0.044	-0.	1.807	0.923	3.931

Aerodynamic design

	units	values
pressure ratio	[-]	1.679
mass flow	[kg/s]	35.82
tip speed	[m/s]	419.1
aspect ratio	[-]	1.679
rotative speed	[rad/s]	1918.74

Material properties

The material of the rotor 65 is titanium according to the report, but its characteristics are not provided. A generic titanium Ti-6Al-4V is considered:

	units	values
alloy	[-]	18-Ni-200-maraging
Young's modulus	[GPa]	180
density	[kg/m3]	8000
Poisson's ratio	[-]	0.3
yield stress	[GPa]	1.38

CAD model

The CAD model is computed with the open source code OpenMCAD[(cite:Kojtych_2022_gene_aubes)].



pressure side



suction side

Natural frequencies

First three natural frequencies (with clamped root) for the mesh computed with OpenMCAD[(cite:Kojtych_2022_gene_aubes)]:

Mode	Type	Natural angular frequency (rad/sec)	Natural frequency (Hz)
1		861.368	137.091
2		3216.752	511.962
3		4954.738	788.571

Initial blade

The **initial blade** is defined with in-house LAVA parameters[(cite:Kojtych_2022_Methodology)] computed from the reference blade CAD model. The initial blade is usually used as starting point for an optimization process. Its geometry is similar to the one of the reference blade.

Natural frequencies

First three natural frequencies (with clamped root)

- from the whole mesh:

Mode	Type	Natural angular frequency (rad/sec)	Natural frequency (Hz)
1		843.807	134.296
2		3125.32	497.41
3		4970.06	791.01

- from the reduced order model:

Mode	Type	Natural angular frequency (rad/sec)	Natural frequency (Hz)
1		843.826	134.299
2		3125.95	497.51
3		4971.344	791.214

Modèles téléchargeables

×

Libre accès

lien vers le projet Git

À propos

Ce rapport présente les performances globales et des pales du ventilateur à l'échelle organiser. L'étape a été désignée «étape 65» pour les tests dans l'installation de Lewis. Les données étaient obtenu à des vitesses de 40 à 100 % de la vitesse de conception. Les données d'enquête sur les éléments de lame ont été pris en 11 positions radiales pour les aubes directrices d'admission et le rotor, en 7 positions radiales pour le stator de dérivation, et à 3 positions radiales pour le stator central. Les données présentées dans ce rapport sont présentés sous forme de tableaux et de graphiques.

- Rapport technique original [(cite:moore1976aerodynamic>)]:

```
@TechReport{moore1976aerodynamic,
  author           = {Moore, Royce D and Kovich, George and Tysl, Edward
R},
  date             = {1976},
  institution      = {NASA Lewis Research Center Cleveland, OH, United
States},
  title            = {Aerodynamic performance of 0.4066-scale model to
JT8D refan stage},
  number           = {NASA-TM X-3356},
  url              = {https://ntrs.nasa.gov/citations/19760017065},
}
```

- Photographie :



Fig1. https://ntrs.nasa.gov/citations/19760017065 p.114

Documents utiles

- modèles téléchargeables (lien vers projet Git)
  - rapport technique original de la NASA (.pdf)
  - fichier de paramètres géométriques (.csv), utilisable en entrée de OpenMCAD[(cite:Kojtych_2022_gene_aubes)] pour générer l'aube de référence

Aube de référence

L'**aube de référence** est définie par des profils de type arcs circulaires multiples[(cite:Crouse_1969_computer>Crouse *et al*. «A computer program for composing compressor blading from simulated circular-arc elements on conical surfaces » 1969. NASA-TN-D-5437. pdf)], donnés dans le rapport technique original de la NASA[(cite:moore1976aerodynamic)]. Les modèles associés sont obtenus avec le code en libre accès OpenMCAD[(cite:Kojtych_2022_gene_aubes)].

Géométrie

La géométrie du rotor 65 est décrite dans le rapport d'origine de la NASA par les tableaux suivants. Les grandeurs sont en pouces et en degrés.

TABLE VII. - BLADE GEOMETRY FOR ROTOR 65

RP	PERCENT SPAN	RADII RI	RADII RO	BLADE ANGLES KIC	BLADE ANGLES KTC	BLADE ANGLES KOC	DELTA INC	CORE ANGLE
TIP	0.	25.405	25.629	64.63	70.95	59.92	1.59	-9.437
1	5.	24.797	24.334	62.32	68.07	58.86	1.91	-10.857
2	10.	24.142	23.640	60.43	65.15	57.62	2.22	-11.036
3	20.	22.707	22.250	58.14	59.28	54.62	2.84	-8.889
4	30.	21.218	20.861	55.91	53.25	51.16	3.58	-6.749
5	35.	20.461	20.166	54.80	50.52	49.45	3.98	-5.442
6	40.	19.704	19.472	53.80	49.08	47.57	4.28	-4.256
7	50.	18.192	18.082	52.02	48.27	43.07	4.73	-2.014
8	60.	16.693	16.693	50.38	47.95	37.24	5.18	-0.057
9	64.	16.092	16.137	49.67	46.39	34.05	5.47	0.804
10	80.	13.595	13.914	47.01	37.52	17.24	6.77	4.968
11	95.	10.894	11.830	44.86	31.17	-4.37	7.54	13.481
HUB	100.	9.898	11.135	43.73	31.25	-14.38	7.68	17.467

RP	BLADE THICKNESSES TI	TM	TO	AXIAL DIMENSIONS ZIC	ZMC	ZTC	ZOC
TIP	0.031	0.118	0.022	0.643	1.870	2.064	2.905
1	0.031	0.134	0.022	0.595	1.909	2.115	3.004
2	0.031	0.148	0.022	0.545	1.943	2.152	3.121
3	0.031	0.174	0.022	0.444	1.975	2.169	3.366
4	0.031	0.203	0.022	0.334	1.968	2.064	3.351
5	0.031	0.217	0.022	0.301	1.908	2.037	3.398
6	0.031	0.226	0.023	0.257	1.907	2.000	3.422
7	0.031	0.236	0.024	0.321	1.900	1.897	3.447
8	0.031	0.249	0.026	0.319	1.873	1.745	3.484
9	0.031	0.260	0.027	0.292	1.865	1.690	3.531
10	0.033	0.316	0.031	0.132	1.839	1.353	3.798
11	0.045	0.365	0.040	0.013	1.820	1.013	3.919
HUB	0.051	0.375	0.044	-0.	1.807	0.923	3.931

Caractéristiques aérodynamiques

	unité	valeurs
taux de compression	[-]	1.679
débit massique	[kg/s]	35.82
vitesse en tête	[m/s]	419.1
allongement	[-]	1.679
vitesse de rotation	[rad/s]	1918.74

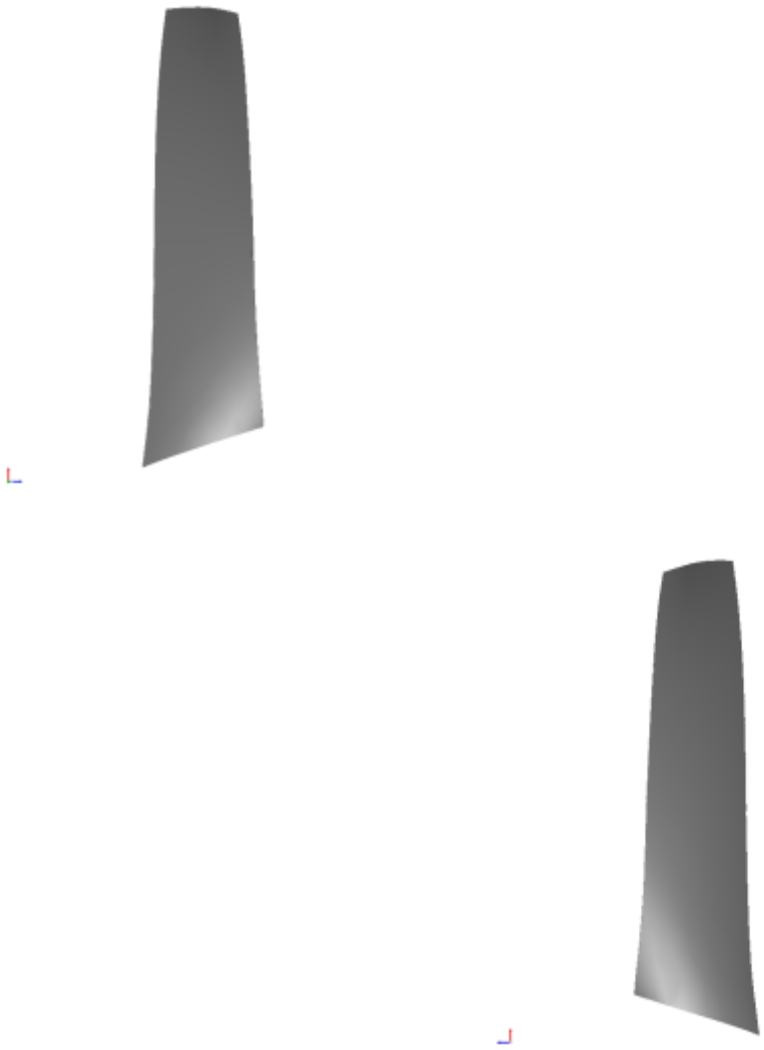
Propriétés matériau

Le matériau du rotor 65 est le titane d'après le rapport, mais ses caractéristiques ne sont pas fournies. Un alliage de titane Ti-6Al-4v est considéré :

	unité	valeurs
alliage	[-]	18-Ni-200-maraging
module d'Young	[GPa]	180
masse volumique	[kg/m3]	8000
coefficient de Poisson	[-]	0,3
limite élastique	[GPa]	1,38

Modèle CAO

Le modèle CAO est obtenu avec OpenMCAD[(cite:Kojtych_2022_gene_aubes)].



intrados
extrados

Fréquences propres

Fréquences des trois premiers modes (noeuds du pied d'aube encastrés) pour le maillage obtenu avec OpenMCAD[(cite:Kojtych_2022_gene_aubes)] :

Mode	Type	Pulsation propre (rad/sec)	Fréquence propre (Hz)
1		861,368	137,091
2		3216,752	511,962
3		4954,738	788,571

Aube initiale

L'**aube initiale** est définie par des paramètres spécifiques au LAVA[(cite:Kojtych_2022_Methodology>Kojtych S. *et al*. «Methodology for the Redesign of Compressor Blades Undergoing Nonlinear Structural Interactions: Application to Blade-Tip/Casing Contacts » 2022. Journal of Engineering for Gas Turbines and Power, Vol. 145, No. 5. pdf)] obtenus à partir du modèle CAO de l'aube de référence. L'aube initiale est classiquement utilisée comme point de départ dans le cadre de procédures d'optimisation; sa géométrie est similaire à celle de l'aube de référence.

Fréquences propres

Fréquences des trois premiers modes (noeuds du pied d'aube encastrés),

- pour le maillage complet :

Mode	Type	Pulsation propre (rad/sec)	Fréquence propre (Hz)
1		843,807	134,296
2		3125,32	497,41
3		4970,06	791,01

- pour le modèle réduit :

Mode	Type	Pulsation propre (rad/sec)	Fréquence propre (Hz)
1		843,826	134,299
2		3125,95	497,51
3		4971,344	791,214

Document issu de la page wiki:
https://wiki.lava.polymtl.ca/public/modeles/rotor_65/accueil?rev=1681497609

Dernière mise à jour: **2023/04/14 14:40**